

04;07

## ИССЛЕДОВАНИЕ ЭЛЕКТРОКИНЕТИЧЕСКИХ ХАРАКТЕРИСТИК РАЗРЯДА В СМЕСИ Hg-Ag В УЗКИХ ТРУБКАХ ПРИ ПОВЫШЕННОМ ДАВЛЕНИИ АРГОНА

© Н.Л.Башлов, Лэ ВанХьеу, В.М.Миленин,  
Г.Ю.Панасюк, Н.А.Тимофеев

Санкт-Петербургский государственный университет,  
Научно-исследовательский институт физики,  
198904 Санкт-Петербург, Россия  
(Поступило в Редакцию 1 декабря 1994 г.)

Исследуются электрокинетические характеристики (концентрация, средняя энергия электронов, напряженность электрического поля) плазмы разряда в смеси паров ртути с аргоном при повышенном давлении аргона. Характеристики плазмы определялись экспериментально, а также рассчитывались с помощью теоретической модели положительного столба Hg-Ag разряда и с использованием методики, основанной на законах подобия. Наблюдается хорошее согласие между результатами расчета и экспериментальными данными.

Современные тенденции развития многих разрядных устройств, в частности источников света, связаны с их миниатюризацией. Это объясняется тем, что уменьшение радиуса разрядной трубы (при неизменном давлении газа) увеличивает гибель заряженных частиц на стенах трубы и, следовательно, напряженность электрического поля. Последнее в свою очередь приводит к росту средней энергии электронов и изменяет их энергетическое распределение таким образом, что растет доля электронов, способных возбуждать и ионизовать атомы газа. Другими словами, уменьшение радиуса разрядной трубы позволяет увеличить световую отдачу плазмы. При этом для уменьшения стеночных потерь энергии и возбужденных и заряженных частиц, как правило, увеличивают давление газа. Целью данной работы является исследование электрокинетических характеристик плазмы (концентрация, средняя энергия электронов, напряженность электрического поля) разрядов в смесях Hg-Ag в узких трубках при повышенном давлении инертного газа.

Характеристики плазмы определялись экспериментально, с помощью законов подобия [1], а также рассчитывались с помощью модели положительного столба, построенной в работе [2].

Экспериментальное исследование электрокинетических характеристик плазмы разрядов, используемых в компактных источниках света

(узкие трубы, повышенное давление инертного газа), до последнего времени было весьма проблематичным. Дело в том, что в этих условиях, как правило, не работает теория зонда Ленгмюра [3], поэтому использование зондового метода диагностики плазмы в его классическом варианте некорректно. В работах [4–8] развита методика определения функции распределения электронов по энергиям на основе измерения зондового тока и его производных по потенциалу зонда с последующим восстановлением функции распределения при решении интегрального уравнения. Эта методика позволяет продвинуться в область разрядных условий, в которых теория зонда Ленгмюра уже не работает. В работе [9] было показано, что использование этой методики в случае разрядов в смеси паров ртути с аргоном дает хороший результат. В данной работе также использованы результаты, полученные с помощью этой методики.

Расчет характеристик плазмы проводился с помощью физической модели, построенной в работе [2] для положительного столба разряда в смеси паров ртути с инертными газами при условиях, близких к условиям работы классических люминесцентных ламп: давление инертных газов  $1 \leq p \leq 5$  Тор, концентрация атомов ртути  $10^{14} \leq N_0 \leq 10^{15} \text{ см}^{-3}$ , радиусов трубы  $1 \leq R \leq 2$  см, разрядный ток  $0.1 \leq i \leq 0.5$  А. При этом основными физическими предположениями были следующие: 1) возбуждаются и ионизуются только атомы ртути; инертный газ является буферным и определяет только процессы диффузии и дрейфа заряженных и нейтральных частиц в плазме; 2) заряженные частицы рождаются в результате ступенчатой ионизации атомов ртути (главным образом с уровня  $6^3P_2$  в силу его большей заселенности по сравнению с другими возбужденными уровнями) и гибнут в результате амбиополярной диффузии на стенке разрядной трубы; 3) электроны приобретают энергию в электрическом поле и теряют ее при неупругих столкновениях с атомами ртути и на стенках разрядной трубы, упругие столкновения с атомами инертного газа не оказывают заметного воздействия на баланс энергии электронов; 4) метастабильные атомы ртути в состоянии  $6^3P_2$  гибнут в объеме плазмы при столкновениях с электронами; при этом главным процессом разрушения является перемещивание с резонансным уровнем  $6^3P_1$ .

Условия работы, характерные для компактных ламп, отличаются от "классических" тем, что давление аргона составляет  $\sim 15\text{--}20$  Тор, при этом концентрация атомов ртути  $\sim 5 \cdot 10^{14} \text{ см}^{-3}$ . Соответственно физическая модель, описывающая плазму компактных ламп, должна быть расширена за счет ряда дополнительных процессов. При увеличении давления и паров ртути в процессе образования свободных электронов необходимо учитывать столкновения возбужденных атомов ртути между собой [10]. Увеличение давления паров ртути приводит также к необходимости учета упругих столкновений электронов с атомами ртути при расчете подвижности электронов. Согласно данным работы [11], при  $p = 3$  Тор учитывать этот эффект необходимо при давлениях ртути, превышающих давление насыщенных паров, соответствующих температуре  $60^\circ\text{C}$ . Однако в компактных люминесцентных лампах давление аргона заметно превышает 3 Тор, что позволяет не учитывать влияния ртути на подвижность электронов до значительно больших температур. Например, при  $p = 12$  Тор верхняя

граница температуры  $T_{\text{Hg}}$ , при которой можно еще не учитывать вклад столкновений с атомами ртути на подвижность электронов, составляет  $T_{\text{Hg}} = 80^{\circ}\text{C}$ . Увеличение давления аргона по сравнению с давлениями, характерными для классических люминесцентных ламп, может привести к необходимости учета потерь энергии электронами при упругих столкновениях с атомами инертного газа. Однако, как показывают сделанные нами оценки, при концентрации атомов ртути  $N_0 \geq 2 \cdot 10^{14} \text{ см}^{-3}$  ( $T_{\text{Hg}} \geq 40^{\circ}\text{C}$ ) этот процесс не оказывает заметного влияния на баланс энергии электронов в области давлений аргона  $P_{\text{Ar}} \leq 30 \text{ Тор}$ .

Анализ процессов, определяющих характеристики положительного столба разряда в рассматриваемых условиях, показывает, что должны выполняться особые законы подобия [2], отличающиеся от классических [12]. Это позволяет применить еще один способ определения характеристик плазмы, основанный на законах подобия, как было предложено в [1].

Согласно законам подобия [2], внутренние характеристики плазмы таких разрядов однозначно определяются следующими комбинациями параметров:

$$z_1 = N_0 p R^2, \quad z_2 = i R p^2, \quad \tau = N_0 t, \quad \rho = r/R. \quad (1)$$

Здесь  $N_0$  — концентрация атомов металла,  $p$  — давление инертного газа,  $i$  — разрядный ток,  $R$  — радиус разрядной трубки,  $t$  — время,  $r$  — текущий радиус. Нетрудно видеть, что число независимых внешних параметров на 2 меньше полного числа внешних параметров разряда.

Остановимся несколько подробнее на методике применения законов подобия. Допустим, что для разряда постоянного тока в смеси паров ртути с инертным газом определена зависимость средней энергии электронов на оси разряда от концентрации атомов ртути и разрядного тока

$$\bar{\varepsilon} = \bar{\varepsilon}(N_0, i). \quad (2)$$

В соответствии с законами подобия [2] средняя энергия электронов должна быть функцией инвариантных параметров  $z_1$  и  $z_2$ . Так как изменения  $N_0$  и  $i$  однозначно связаны с изменениями только  $z_1$  и  $z_2$  соответственно, то в соотношениях типа (2) можно  $N_0$  и  $i$  заменить на  $z_1$  и  $z_2$  и, таким образом, получить зависимость от  $\rho$

$$\bar{\varepsilon} = \bar{\varepsilon}(N_0, i) = \bar{\varepsilon}(z_1, z_2) = \bar{\varepsilon}(N_0 p R^2, i R p^2). \quad (3)$$

Если известны зависимости от других внешних параметров, то выбор новых независимых переменных, которые, очевидно, будут комбинациями  $z_1$  и  $z_2$ , следует делать так, чтобы они были однозначно связаны с теми параметрами, относительно которых получены эти зависимости.

Аналогичные рассуждения могут быть проведены для любой инвариантной характеристики положительного столба. Такими характеристиками являются  $n_e/N_0$ ,  $\bar{\varepsilon}$ ,  $E \cdot R$ ,  $N_m/N_0$ ,  $f_0(v)/N_0$ ,  $I_{ki}/(N_0^2 \cdot R^2)$  [2]. Здесь  $n_e$  — концентрация электронов,  $N_m$  — концентрация метастабильных атомов ртути,  $f_0(v)$  — изотропная часть функции распределения электронов по энергиям,  $I_{ki}$  — интенсивности нерезонансных линий атома ртути. Несколько сложнее обстоит дело со световой

Таблица 1. Температура электронов  $kT_e$  в зависимости от температуры  $T_{Hg}$  паров ртути

$T_{Hg}$ , С	$kT_e^{\text{расч}}$ , эВ	$kT_e^{\text{эксп}}$ , эВ
32	1.24	1.23
40	1.20	1.14
50	1.12	1.12
60	1.05	1.08
66	1.00	1.02

отдачей (или КПД резонансного излучения) положительного столба, которая в случае интересующего нас разряда, используемого в люминесцентных лампах, определяется резонансным излучением ртути. Как было показано в [13], в отсутствие тушения резонансных состояний атомов ртути КПД излучения является инвариантной величиной. В наших условиях тушением пренебречь нельзя, однако оно невелико и при максимальных давлениях ртути не превышает 20–30%.

Описанная выше методика применения законов подобия для диагностики плазмы применялась в ряде работ [1, 13]. Было показано, во-первых, возможность такой диагностики, во-вторых, достаточно высокая точность, позволяющая надежно определять электроинженерные и оптические характеристики положительного столба как стационарного, так и импульсно-периодического разряда.

В данной работе законы подобия были использованы для расчета характеристик плазмы Hg-Ar разряда в узких трубках. При этом, используя данные, полученные в трубках относительно большого радиуса ( $R \geq 1$  см) и стандартного давления инертных газов ( $p \sim 1-3$  Тор), с помощью законов подобия можно продвинуться в область малых радиусов и повышенных давлений аргона.

В данной работе электроинженерные характеристики плазмы измерялись следующим образом. Для определения продольного электрического поля использовались два молибденовых зонда радиусом 0.045 мм и длиной 3 мм, расположенных на расстоянии 40 мм друг от друга на оси разряда. Напряженность электрического поля  $E$  определялась по разности потенциалов зондов. Температура электронов определялась по функции распределения электронов по энергиям, которая измерялась с помощью экспериментальной установки, описанной в [2], с помощью методики [9]. При этом внешние параметры разряда варьировались в следующем диапазоне: радиус разрядной трубки 0.4–0.5 см, давление аргона 5–20 Тор, давление паров ртути  $p_{Hg} \sim 2-50 \cdot 10^{-3}$  Тор.

В табл. 1 приведены результаты измерения температуры электронов  $kT_e$  ( $k$  — постоянная Больцмана) при  $R = 0.4$  см,  $p = 15$  Тор,  $i = 0.25$  А и при варьировании температуры насыщенных паров ртути. Здесь же даны результаты расчета, проведенного с помощью модели [2] с учетом дополнительных процессов, о которых шла речь выше. Наблюдается хорошее согласие, что говорит о возможности использования модели [2] для расчета характеристик плазмы разряда в смеси паров ртути с аргоном в узких трубках при повышенном значении давления аргона.

**Таблица 2.** Напряженность продольного электрического поля  $E$  в зависимости от температуры  $T_{\text{Hg}}$  паров ртути

$T_{\text{Hg}}, \text{ С}$	$E^{\text{расч}}, \text{ В/см}$	$E^{\text{эксп}}, \text{ В/см}$
22	—	2.3
32	2.91	2.5
40	2.84	2.5
50	2.80	3.0
60	2.89	2.7
66	3.0	—

В табл. 2 приведены результаты измерения и данные расчета напряженности продольного электрического поля при варьировании давления паров ртути (температуры  $T_{\text{Hg}}$ ) при  $p_{\text{Ar}} = 15 \text{ Тор}$ ,  $i = 0.18 \text{ А}$ ,  $R = 0.4 \text{ см}$ . Как видно, наблюдается удовлетворительное согласие между данными расчета и экспериментом. Следует заметить, что измерения напряженности электрического поля в положительном столбе разряда в смеси Hg–Ar сопряжены с достаточно сильными колебаниями потенциала пространства [2], поэтому ошибка определения  $E$  может достигать величины  $\sim 10\%$ .

На рис. 1–3 приведены результаты измерения напряженности электрического поля в зависимости от давления аргона, величины разрядного тока и температуры ртути. Зависимость от силы тока очевидна:  $E$  падает с увеличением  $i$ . При увеличении давления инертного газа  $p$  напряженность имеет минимум при  $p \sim 7\text{--}8 \text{ Тор}$  и затем монотонно растет. Возникновение минимума связано с конкуренцией двух процессов: с ростом давления аргона, с одной стороны, замедляется гибель заряженных частиц на стенках разрядной трубки, а с другой стороны, уменьшается подвижность электронов. Первый процесс стремится уменьшить среднюю энергию электронов и напряженность продольного электрического поля, а второй — увеличить напряженность поля. Зависимость от  $T_{\text{Hg}}$  также монотонна и имеет максимум при сравнительно низких температурах  $T_{\text{Hg}}$ , а затем уменьшается с ростом  $T_{\text{Hg}}$ .

На рис. 4 представлены экспериментальная [14] и рассчитанная с помощью законов подобия зависимости концентрации  $n_e$  и средней энергии  $\bar{e}$  электронов от давления инертного газа, на рис. 5 — зависимости тех же характеристик от температуры стенок разрядной трубки. Наблюдается хорошее согласие, что подтверждает как справедливость законов подобия [2] для интересующих нас разрядов, так и возможности описанной выше методики. На рис. 6 представлены измеренная в [15] и рассчитанная с помощью законов подобия напряженность продольного электрического поля  $E$  как функция радиуса трубки  $R$ . На этом же рисунке приведены результаты нашего расчета концентрации электронов  $n_e$  и их температуры  $kT_e = (2/3) \cdot \bar{e}$  для трубок различного радиуса. Последние зависимости не измерялись в [15].

На рис. 7 и 8 представлены результаты расчета зависимостей  $n_e$  и  $kT_e$  от  $R$ ,  $i$  и  $p$ . Эти данные весьма интересны с точки зрения выбора оптимальных условий работы люминесцентных источников света. При переходе к узким трубкам условия разряда, обеспечивающие

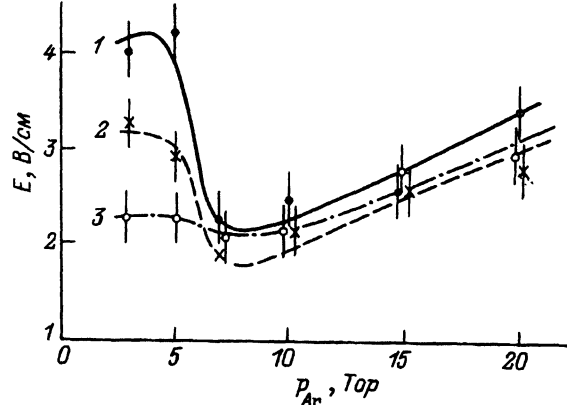


Рис. 1. Напряженность продольного электрического поля в положительном столбе Hg-Ar разряда в зависимости от давления аргона.  
 $i = 180$  мА,  $R = 0.4$  см; 1 —  $T_{Hg} = 32$ , 2 — 40, 3 — 60 °С.

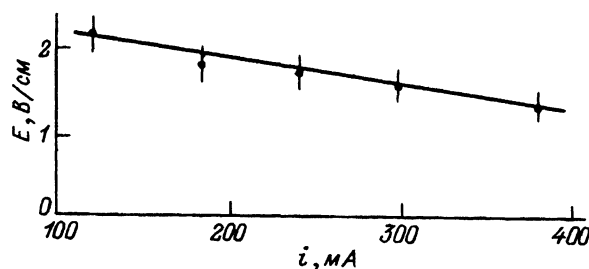


Рис. 2. Напряженность электрического поля  $E$  в зависимости от разрядного тока ( $T_{Hg} = 60$  °С,  $p_{Ar} = 10$  Top,  $R = 0.4$  см).

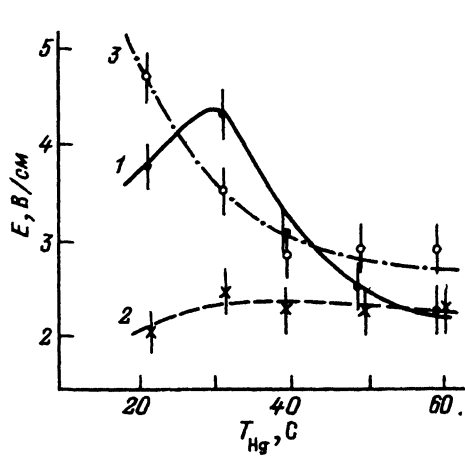


Рис. 3. Зависимость напряженности электрического поля  $E$  от температуры насыщенных паров ртути  $T_{Hg}$ .  
 $R = 0.4$  см,  $i = 180$  мА; 1 —  $p_{Ar} = 5$ , 2 — 10, 3 — 15 Top.

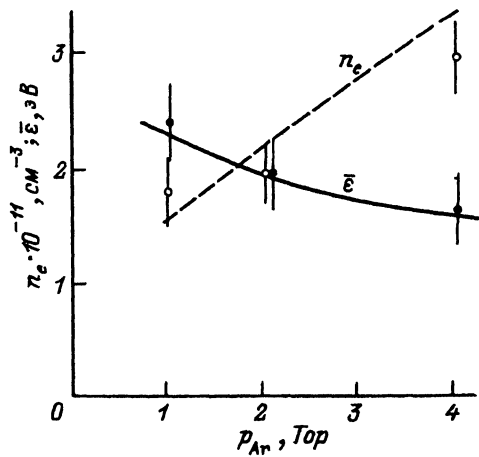


Рис. 4. Сравнение результатов измерения [14] и расчета с помощью законов подобия [2] концентрации  $n_e$  и средней энергии  $\bar{\epsilon}$  электронов в зависимости от давления аргона  $p_{Ar}$  ( $R = 1.0$  см,  $i = 250$  мА,  $N_0 = 2 \cdot 10^{14}$  см<sup>-3</sup>).

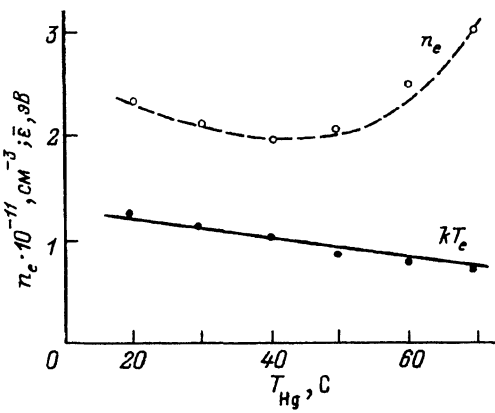


Рис. 5. Концентрация  $n_e$  и средняя энергия электронов  $\bar{\epsilon}$  в зависимости от температуры паров ртути  $T_{Hg}$ .

Точки — эксперимент [14], кривые — результаты расчета с помощью законов подобия [2];  $R = 1.0 \text{ см}$ ,  $i = 250 \text{ mA}$ ,  $p_{Ar} = 2 \text{ Тор}$ .

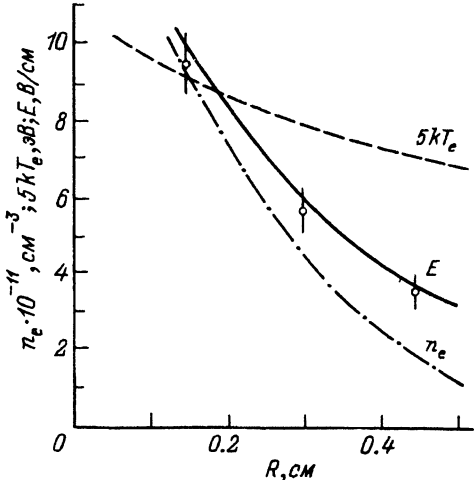


Рис. 6. Результаты измерения напряженности электрического поля [15] и рассчитанные с помощью законов подобия зависимости концентрации и средней энергии электронов от радиуса разрядной трубы  $R$  (точки — эксперимент).

$p_{Ar} = 15 \text{ Тор}$ ,  $i = 20 \text{ mA}$ ,  $N_0 = 2 \cdot 10^{14} \text{ см}^{-3}$ .

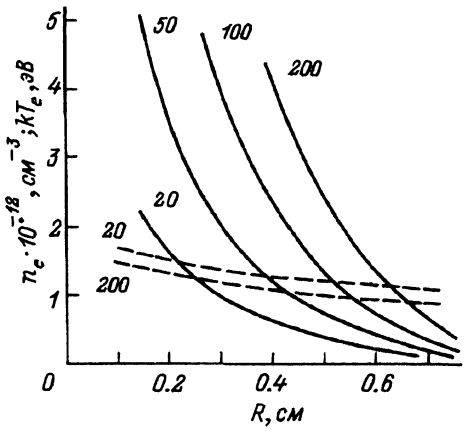


Рис. 7. Результаты расчета  $n_e$  (сплошные кривые) и  $T_e$  (штриховые) с помощью теоретической модели [2].

$p_{Ar} = 15 \text{ Тор}$ ,  $N_0 = 10^{14} \text{ см}^{-3}$ , цифры — значения (mA).

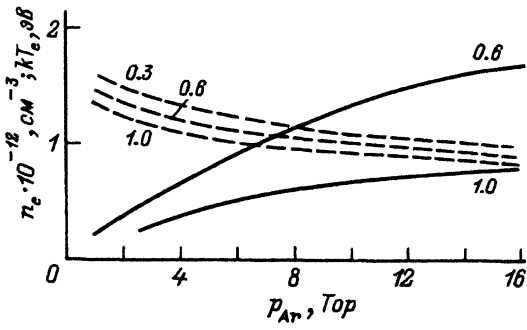


Рис. 8. Рассчитанные с помощью теоретической модели [2] зависимости  $n_e$  и  $T_e$  от давления аргона и радиуса разрядной трубы  $R$ .

$i = 250 \text{ mA}$ ,  $N_0 = 10^{14} \text{ см}^{-3}$ , цифры — значения  $R$ .

максимальную эффективность генерации излучения в положительном столбе, очевидно, изменяются. Полученные нами данные позволяют оценить степень тушения резонансных уровней ртути в интересующих нас условиях. Тушение оказывается достаточно слабым, не влияющим коренным образом на интенсивность резонансного излучения. Это позволяет рассматривать световую отдачу плазмы как инвариантную характеристику и применить к ней подход, опирающийся на формализм законов подобия. Разрядные условия в стандартных люминесцентных лампах подобраны таким образом, чтобы световая отдача этих ламп  $\eta$  была максимальной. Поскольку  $\eta$  является инвариантной характеристикой (со сделанными выше оговорками), то переход к другим условиям разряда будет оставлять светоотдачу по-прежнему максимальной в том случае, если новые условия подобны в смысле [2] стандартным условиям работы люминесцентных ламп.

На основе этих соображений можно оценить оптимальные условия работы источников света в случае узких трубок при повышенных давлениях газов. Одной из перспективных конструкций является люминесцентная лампа, созданная в трубке радиусом  $R = 0.5$  см и работающая при температуре паров ртути  $T_{\text{Hg}} \approx 50^\circ\text{C}$ . Законы подобия позволяют легко оценить область разрядных условий, вблизи которых должен наблюдаться максимум световой отдачи:  $R = 0.5$  см,  $p = 22$  Тор,  $i = 28$  мА,  $N_0 = 3.6 \cdot 10^{14} \text{ см}^{-3}$ .

Описанную процедуру можно применить, очевидно, к исследованию разрядов в смеси паров ртути с другими инертными газами. Например, в табл. 3 приведено сравнение измеренных авторами работы [15] и рассчитанных нами с помощью законов подобия значений напряженности электрического поля  $E$  в зависимости от радиуса разрядной трубки в разрядах в смесях Hg-Kr и Hg-Ne ( $p = 15$  Тор,  $N_0 = 2 \cdot 10^{14} \text{ см}^{-3}$ ). Показано, что имеет место хорошее согласие между экспериментальными [15] и рассчитанными нами данными.

Таким образом, законы подобия, развитые в работе [2], справедливы в более широкой области разрядных условий. Это позволяет использовать их для описания характеристик плазмы разряда источников света и для поиска оптимальных условий работы таких источников.

**Таблица 3.** Сравнение между измеренными [15] значениями напряженности электрического поля  $E$  и радиуса разрядной трубки  $R$  в Hg-Kr и Hg-Ne разряда с результатами расчета, основанного на законах подобия

Смесь	$R$ , см	$i$ , мА	$E$ , В/см	
			Расчет	Эксперимент
Hg + Kr	0.08	18	12.2	9.1
	0.15	18	6.9	6.4
	0.3	23	5.3	4.6
Hg + Ne	0.08	26	22.7	21.9
	0.15	20	12.1	13.1
	0.30	18	6.8	9.8

## Список литературы

- [1] Башлов Н.Л., Панасюк Г.Ю., Тимофеев Н.А. // Опт. и спектр. 1989. Т. 65. Вып. 1. С. 48–51.
  - [2] Миленин В.М., Тимофеев Н.А. Плазма газоразрядных источников света низкого давления. Л., 1991. 240 с.
  - [3] Langmuir I., Mott-Smith H.M. // Phys. Rev. 1926. Vol. 28. P. 727.
  - [4] Голубовский Ю.Н., Захарова В.М., Пасункин В.Н., Цендин Л.Д. // Физика плазмы. 1981. Т. 7. С. 620–628.
  - [5] Горбунов Н.А., Колоколов Н.Б., Кудрявцев А.А. // Физика плазмы. 1989. Т. 15. С. 1513–1520.
  - [6] Арсланбеков Р.Р., Кудрявцев А.А., Хромов Н.А. // Физика плазмы. 1991. Т. 17. С. 855–862.
  - [7] Арсланбеков Р.Р., Кудрявцев А.А., Хромов Н.А. // Физика плазмы. 1991. Т. 17. С. 863–867.
  - [8] Арсланбеков Р.Р., Кудрявцев А.А., Хромов Н.А. // Физика плазмы. 1991. Т. 17. С. 1161–1165.
  - [9] Башлов Н.Л., Лә Ван Хъеу, Миленин В.М., Панасюк Г.Ю., Тимофеев Н.А. // ЖТФ. 1994. Т. 64. Вып. 10. С. 66–75.
  - [10] Vriens L., Keijzer R.A.J., Ligthart F.A.S. // J. Appl. Phys. 1978. Vol. 49. P. 3807–3813.
  - [11] Chen Z.F., Jones H.G. // J. Phys. D. 1984. Vol. 17. P. 337–342.
  - [12] Pfau S., Rutcher A., Wojaczek K. // Beitr. Plasmaphys. 1969. Vol. 9. P. 333–358.
  - [13] Bashlov N.L., Milenin V.M., Panasjuk G.Ju., Timofeev N.A. // J. Phys. D. 1993. Vol. 26. P. 410–417.
  - [14] Каланов В.П. Канд. дис. Л., 1986. 167 с.
  - [15] Benetray P., Zissis G., Damelincourt J.-J., Por A. // Proc. 5<sup>th</sup> Intern. Symp. Science and Technology of Light Sources. New York, 1989. P. 71.
-